



**universidade
de aveiro**

Phenomenology of the minimal B - L extension of the Standard Model

JOÃO PEDRO DIAS RODRIGUES

ANTÓNIO MORAIS

Conteúdo

1 - Motivação

2 - Introdução teórica

2.1 - Formalismo

2.3 - Simetria e o Teorema de Noether

2.3 - Quebra espontânea de uma simetria

3 - O Modelo Padrão

3.1 - Geração de massa para bósons no modelo padrão

3.2 - Geração de massa dos férmions no modelo padrão

4 - O Modelo B-L-SM

4.1 – O sector escalar do modelo B-L-SM.

4.2 - O sector de Gauge do modelo B-L-SM

4.3 - Neutrinos diretos no modelo B-L-SM

5 - Estudo fenomenológico do modelo B-L-SM

5.1 - Parametrização teórica

5.2 - Scan segundo uma parametrização

5.3 - Uma primeira seleção de pontos

5.4 - Scans aleatórios com correções quânticas a dois loops

5.5 - Limites de exclusão

5.6 - Compatibilidade do sector de Higgs

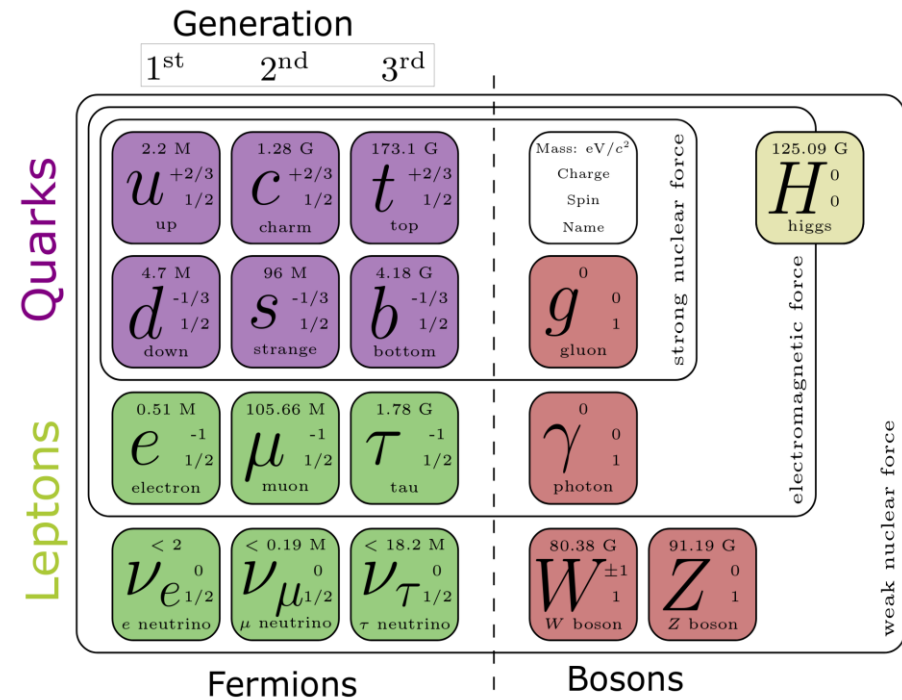
5.7 - Bissecções do gráfico de probabilidade

5.8 - Limites associados ao bóson Z'

6 - Conclusões

1 - Motivação

A teoria quântica utilizada atualmente é o modelo padrão

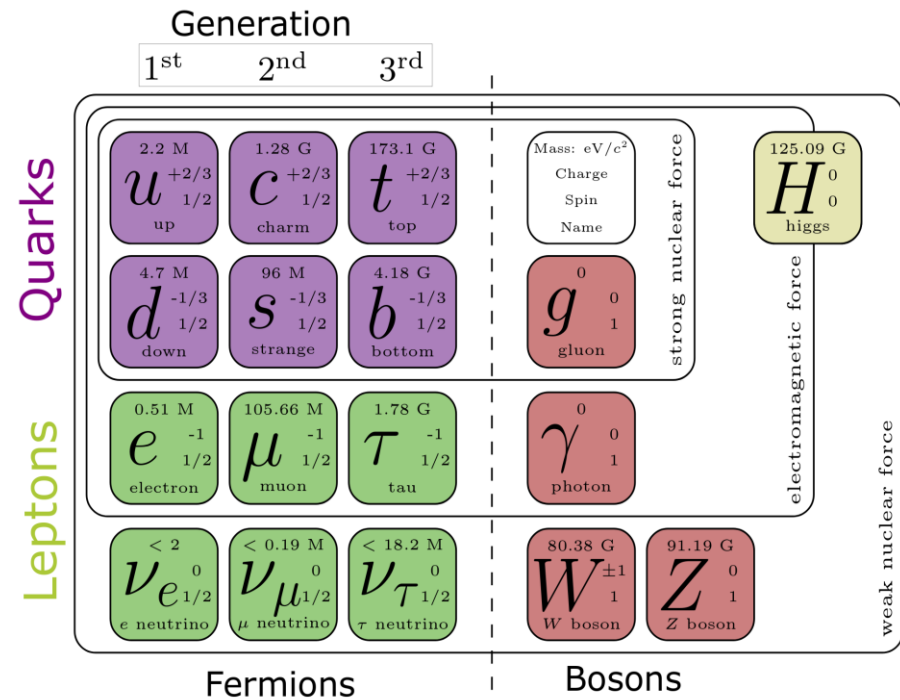


1 - Motivação

A teoria quântica utilizada atualmente é o modelo padrão

Problemas com o modelo padrão

- Massas de neutrinos
- Matéria e energia escura
- Assimetria entre matéria e anti matéria



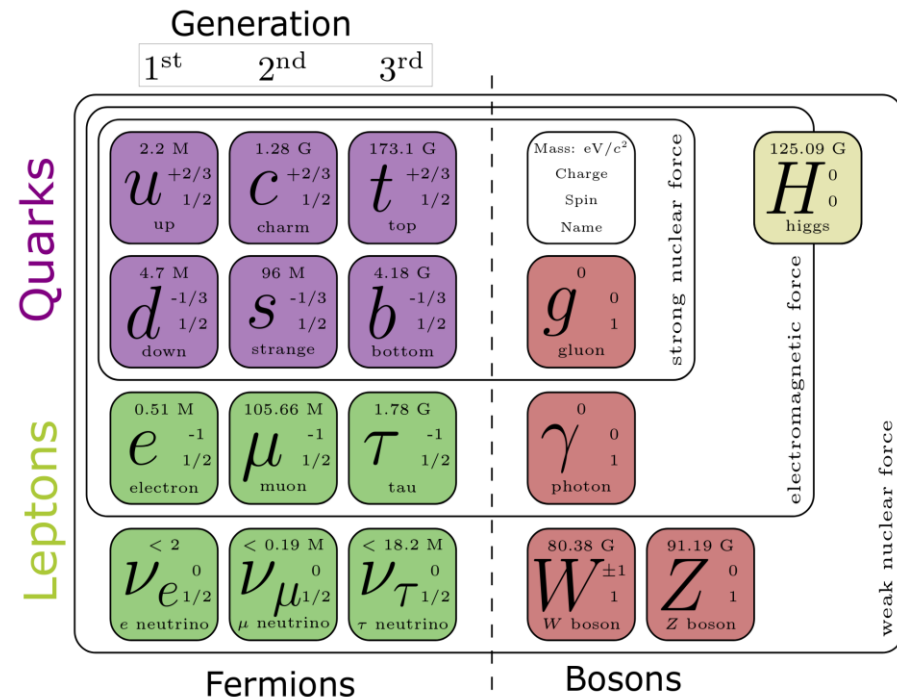
1 - Motivação

A teoria quântica utilizada atualmente é o modelo padrão

Problemas com o modelo padrão

- Massas de neutrinos
- Matéria e energia escura
- Assimetria entre matéria e anti matéria

Existem muitos candidatos para substituir o modelo padrão, um deles é o modelo B-L-SM.



2.1 - Formalismo

Iremos abordar física de partículas com formalismo lagrangiano cujo elemento fundamental é a ação,

$$\mathcal{S} = \int L \, dt = \int \mathcal{L}(\Phi, \partial_\mu \Phi) \, d^\mu x \quad ,$$

pelo princípio de mínima ação,

$$\delta \mathcal{S} = 0$$

obtemos as equações de Euler-Lagrange,

$$\partial_\mu \left(\frac{\partial \mathcal{L}(\Phi, \partial_\mu \Phi)}{\partial (\partial_\mu \Phi)} \right) - \frac{\partial \mathcal{L}(\Phi, \partial_\mu \Phi)}{\partial \Phi} = 0 \quad ,$$

2.2 - Simetria e o Teorema de Noether

Se ao aplicarmos uma transformação continua ao sistema,

$$\phi \rightarrow \phi' = \phi + \delta\phi,$$

e esta transformação deixar as dinâmicas do sistema invariantes,

$$\mathcal{L}(\Phi, \partial_\mu \Phi) = \mathcal{L}(\Phi', \partial_\mu \Phi'),$$

este tipo de transformação deixa o sistema invariante e para uma transformação genérica dizemos que o sistema têm uma simetria perante este tipo de transformações.

O teorema de Noether enuncia que cada simetria continua têm associada uma corrente e carga conservada.

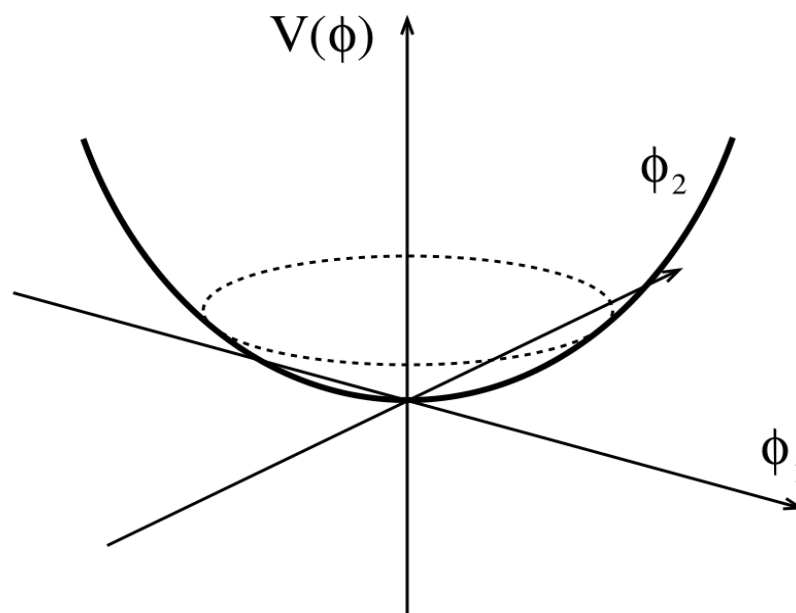
$$\partial j^\mu = 0 \qquad Q = \int \underset{\text{Todo o espaço}}{j^0} d^3x$$

2.3 - Quebra espontânea de uma simetria

Para introduzir alguns conceitos usamos o exemplo do Lagrangiano associado com uma teoria escalar complexa,

$$\mathcal{L} = (\partial_\mu \Phi)^* (\partial^\mu \Phi) - \mu^2 (\Phi^* \Phi) - \lambda (\Phi^* \Phi)^2,$$

Se μ^2 for um parâmetro positivo temos um mínimo em, $\Phi = 0$

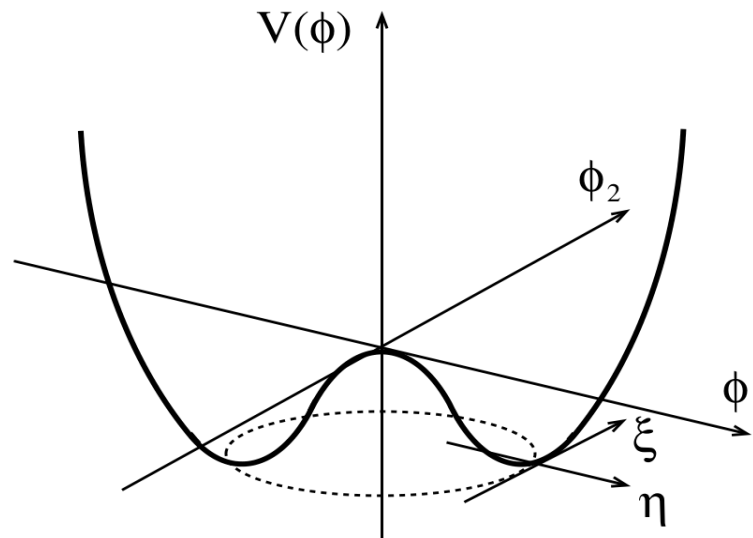


2.3 - Quebra espontânea de uma simetria

no entanto tomando valores negativos para μ^2 muda o mínimo do campo para um valor diferente de zero,

$$|\Phi|_{min} = \sqrt{\frac{-\mu^2}{\lambda}} = v.$$

Mudando o campo para o mínimo, $\Phi \rightarrow \eta(x) + v + i\epsilon(x)$,

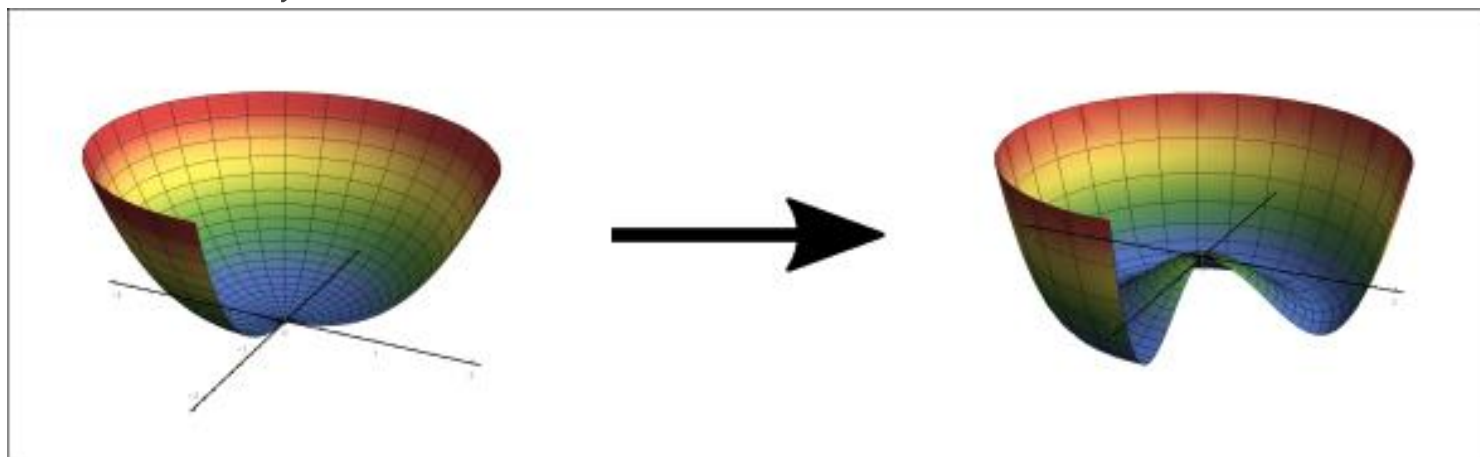


2.3 - Quebra espontânea de uma simetria

Expandindo o Lagrangiano,

$$\mathcal{L} = \frac{1}{2} \partial_\mu \epsilon(x) \partial^\mu \epsilon(x) + \frac{1}{2} \partial_\mu \eta(x) \partial^\mu \eta(x) - \frac{1}{2} (2\mu^2) \eta^2 - \frac{1}{4} \lambda (\epsilon^2 + \eta^2)^2 - \lambda v (\epsilon^2 + \eta^2) \eta ,$$

onde antes tínhamos dois campos reais massivos agora temos apenas um, com massa $2\mu^2$.



3.1 - Geração de massa para bosões no modelo padrão

Os sectores escalar e de Gauge do modelo padrão são,

$$\mathcal{L} = (D_\mu H)^\dagger (D_\mu H) - V(HH^\dagger) - \frac{1}{4} F_{\mu\nu}^i F^{i,\mu\nu} - \frac{1}{4} B_{\mu\nu} B^{\mu\nu} \quad ,$$

Onde o campo de Higgs, H , toma um VEV com a forma,

$$H(x) = \begin{pmatrix} \phi_1 + i\phi_2 \\ \phi_3 + i\phi_4 \end{pmatrix} \Rightarrow \begin{pmatrix} 0 \\ v + h \end{pmatrix} ,$$

3.1 - Geração de massa para bosões no modelo padrão

Os sectores escalar e de Gauge do modelo padrão são,

$$\mathcal{L} = (D_\mu H)^\dagger (D_\mu H) - V(HH^\dagger) - \frac{1}{4} F_{\mu\nu}^i F^{i,\mu\nu} - \frac{1}{4} B_{\mu\nu} B^{\mu\nu} \quad ,$$

Onde o campo de Higgs, H , toma um VEV com a forma,

$$H(x) = \begin{pmatrix} \phi_1 + i\phi_2 \\ \phi_3 + i\phi_4 \end{pmatrix} \Rightarrow \begin{pmatrix} 0 \\ v + h \end{pmatrix} ,$$

Podemos expandir o lagrangiano em volta deste VEV

$$\begin{aligned} \mathcal{L} = & \frac{1}{2} \partial_\mu h \partial^\mu h - \frac{1}{2} (2v^2 \lambda) h^2 - \frac{1}{4} F_{\mu\nu}^i F^{i,\mu\nu} - \frac{1}{4} B_{\mu\nu} B^{\mu\nu} \\ & + \frac{1}{8} v^2 g^2 (A_\mu^1 A^{1,\mu} + A_\mu^2 A^{2,\mu}) \\ & + \frac{1}{8} v^2 (g^2 A_\mu^3 A^{3,\mu} + g'^2 B_\mu B^\mu - 2g^2 g'^2 A_\mu^3 B^\mu), \end{aligned}$$

3.1 - Geração de massa para bósons no modelo padrão

$$\mathcal{L} = \frac{1}{2} \partial_\mu h \partial^\mu h - \frac{1}{2} (2v^2 \lambda) h^2 - \frac{1}{4} F_{\mu\nu}^i F^{i\mu\nu} - \frac{1}{4} B_{\mu\nu} B^{\mu\nu} \\ + \frac{1}{8} v^2 g^2 (A_\mu^1 A^{1,\mu} + A_\mu^2 A^{2,\mu}) + \frac{1}{8} v^2 (g^2 A_\mu^3 A^{3,\mu} + g'^2 B_\mu B^\mu - 2g^2 g'^2 A_\mu^3 B^\mu),$$

Rescrevendo este lagrangiano na sua base física, ou seja mudando os campos para,

$$W_\mu^\pm = \frac{1}{\sqrt{2}} (A_\mu^1 \pm i A_\mu^2),$$

$$A_\mu = \cos(\theta_\omega) B_\mu + \sin(\theta_\omega) A_\mu^3,$$

$$Z_\mu = -\sin(\theta_\omega) B_\mu + \cos(\theta_\omega) A_\mu^3,$$

Obtemos somente termos quadráticos levando às massas,

$$M_Z = \frac{1}{2} v \sqrt{g^2 + g'^2} \quad \text{e} \quad M_W = \frac{1}{2} v g$$

3.2 - Geração de massa dos fermiões no modelo padrão

O Lagrangiano do modelo padrão não inclui termos de massa para os leptões, i.e para o elétron, $m^2 e e^\dagger$, onde os campos de Dirac para o elétron seriam,

$$e = \begin{pmatrix} e_L \\ e_R \end{pmatrix}, e^\dagger = (\overline{e_R} \quad \overline{e_L}).$$

3.2 - Geração de massa dos fermiões no modelo padrão

O Lagrangiano do modelo padrão não inclui termos de massa para os leptões, i.e para o eletrão, $m^2 ee^\dagger$, onde os campos de Dirac para o eletrão seriam,

$$e = \begin{pmatrix} e_L \\ e_R \end{pmatrix}, e^\dagger = (\overline{e_R} \quad \overline{e_L}).$$

Então a massa dos fermiões vem do sector de Yukawa, para o caso do eletrão teríamos,

$$\mathcal{L}_{\psi_e} = y^e \overline{L_e} H e_r + L_e H^\dagger \overline{e_r} \xrightarrow[\text{VEV}]{\text{Adquirindo}} \mathcal{L}_{\psi_e} = y^e v (\overline{e_L} e_R + \overline{e_R} e_L) + y^e h(x) (\overline{e_L} e_R + \overline{e_R} e_L)$$

Isto é equivalente a um termo de massa e um termo de interceção, levando a que a massa do eletrão seja dada por

$$m_e = \sqrt{y^e v}$$

Para cada Leptão temos um termo semelhante com acoplamentos de Yukawa diferentes tirando para o neutrinos que não têm termos desta forma no modelo padrão.

4.1 - O modelo B-L-SM, sector escalar.

O modelo B-L-SM é uma extensão simples do modelo padrão, é chamada uma extensão triplamente minimal por adicionar apenas um campo de Gauge, B'_μ , um campo escalar, χ , e um sector direito aos leptões sendo. O sector escalar,

$$\mathcal{L}_s = (D^\mu H)^\dagger (D_\mu H) + (D^\mu \chi)^\dagger (D_\mu \chi) - V(H, \chi)$$

Onde o potencial é dado por,

$$V(H, \chi) = m^2 H H^\dagger + \mu^2 |\chi|^2 + \begin{pmatrix} H H^\dagger \\ |\chi|^2 \end{pmatrix} \begin{pmatrix} \lambda_1 & \frac{1}{2} \lambda_3 \\ \frac{1}{2} \lambda_3 & \lambda_2 \end{pmatrix} \begin{pmatrix} H H^\dagger & |\chi|^2 \end{pmatrix}$$

4.1 - O modelo B-L-SM, sector escalar.

O modelo B-L-SM é uma extensão simples do modelo padrão, é chamada uma extensão triplamente minimal por adicionar apenas um campo de Gauge, B'_μ , um campo escalar, χ , e um sector direito aos leptões sendo. O sector escalar,

$$\mathcal{L}_s = (D^\mu H)^\dagger (D_\mu H) + (D^\mu \chi)^\dagger (D_\mu \chi) - V(H, \chi)$$

Onde o potencial é dado por,

$$V(H, \chi) = m^2 H H^\dagger + \mu^2 |\chi|^2 + \begin{pmatrix} H H^\dagger \\ |\chi|^2 \end{pmatrix} \begin{pmatrix} \lambda_1 & \frac{1}{2} \lambda_3 \\ \frac{1}{2} \lambda_3 & \lambda_2 \end{pmatrix} \begin{pmatrix} H H^\dagger & |\chi|^2 \end{pmatrix}$$

Onde os campos H e χ adquirem os seguintes VEVs

$$H = \frac{1}{\sqrt{2}} \begin{pmatrix} 0 \\ v + h \end{pmatrix}, \quad \chi = \frac{x}{\sqrt{2}} + h'$$

Devidamente minimizando o potencial e calculado os estados próprios da matriz de massa obtemos os seguintes valores próprios.

$$m_{h_1}^2 = \lambda_1 v^2 + \lambda_2 x^2 - \sqrt{(\lambda_1 v^2 - \lambda_2 x^2)^2 + (\lambda_3 x v)^2}$$
$$m_{h_2}^2 = \lambda_1 v^2 + \lambda_2 x^2 + \sqrt{(\lambda_1 v^2 - \lambda_2 x^2)^2 + (\lambda_3 x v)^2}$$

4.2 - O sector de Gauge do modelo B-L-SM

Expandindo o sector de Gauge obtemos,

$$(D^\mu H)^\dagger (D_\mu H) + (D^\mu \chi)^\dagger (D_\mu \chi) = \frac{1}{2} \partial^\mu h \partial_\mu h + \frac{1}{2} \partial^\mu h' \partial_\mu h' + \\ \frac{1}{8} (h + v)^2 \left[g^2 [W_1^\mu - iW_2^\mu]^2 + (gW_3^\mu - g_1 B^\mu - \tilde{g} B'^\mu)^2 \right] + \frac{1}{2} (h' + x)^2 (g'_1 2B'^\mu)^2,$$

4.2 - O sector de Gauge do modelo B-L-SM

Expandindo o sector de Gauge obtemos,

$$(D^\mu H)^\dagger (D_\mu H) + (D^\mu \chi)^\dagger (D_\mu \chi) = \frac{1}{2} \partial^\mu h \partial_\mu h + \frac{1}{2} \partial^\mu h' \partial_\mu h' + \\ \frac{1}{8} (h + v)^2 \left[g^2 [W_1^\mu - iW_2^\mu]^2 + (gW_3^\mu - g_1 B^\mu - \tilde{g} B'^\mu)^2 \right] + \frac{1}{2} (h' + x)^2 (g'_1 2B'^\mu)^2,$$

Diagonalizando este sector obtemos os mesmos termos de massas para os bosões W e fóton que no modelo padrão, no entanto para os bosões Z e Z' as massas agora são dadas por,

$$M_{Z,Z'} = \sqrt{g^2 + g_1^2} \cdot \frac{v}{2} \left[\frac{1}{2} \left(\frac{\tilde{g}^2 + 16 \left(\frac{x}{v} \right)^2 g_1'^2}{g^2 + g_1^2} + 1 \right) \mp \frac{\tilde{g}}{\sin(2\gamma') \sqrt{g^2 + g_1^2}} \right],$$

4.2 - O sector de Gauge do modelo B-L-SM

$$M_{Z,Z'} = \sqrt{g^2 + g_1^2} \cdot \frac{v}{2} \left[\frac{1}{2} \left(\frac{\widetilde{g}^2 + 16 \left(\frac{x}{v} \right)^2 g_1'^2}{g^2 + g_1^2} + 1 \right) \mp \frac{\widetilde{g}}{\sin(2\gamma') \sqrt{g^2 + g_1^2}} \right],$$

onde γ' é um ângulo de mistura entre os bósons Z que pode ser relacionado com os “*couplings*” associados aos vários campos de Gauge por,

$$\sin(2\gamma') = \frac{2\widetilde{g}\sqrt{g^2 + g_1^2}}{\sqrt{\left(\widetilde{g}^2 + 16 \left(\frac{x}{y} \right)^2 g'^2 - g^2 - g_1^2 \right)^2 + 2\widetilde{g}^2(g^2 + g_1^2)}}$$

4.3 - Neutrinos direitos no modelo B-L-SM

No modelo B-L-SM o sector de Yukawa inclui os seguintes termos adicionais em relação ao modelo padrão,

$$\mathcal{L}_{y_{\nu_r}} = y_k^{\nu} \bar{l}_k v_R^k \tilde{H} - y_k^M \overline{\nu_R^c} v_R^k \chi + h.c.$$

4.3 - Neutrinos direitos no modelo B-L-SM

No modelo B-L-SM o sector de Yukawa inclui os seguintes termos adicionais em relação ao modelo padrão,

$$\mathcal{L}_{y_{\nu r}} = y_k^{\nu} \bar{l}_k v_R^k \tilde{H} - y_k^M \overline{\nu_R^c} v_R^k \chi + h.c.$$

Devido aos VEV's de ambos os campos existe a geração de massa para os novos neutrinos direitos e esquerdos através do mecanismo see-saw,

$$\mathcal{L}_{y_{\nu r}} = \begin{pmatrix} \nu_L \\ \nu_R \end{pmatrix} \begin{pmatrix} 0 & m_D \\ m_D & M \end{pmatrix} \begin{pmatrix} \nu_L & \nu_R \end{pmatrix},$$

Onde $M = \sqrt{2} y^M x$ e $m_D = \frac{y^{\nu}}{\sqrt{2}} v$. Diagonalizando este sistema para uma base física com neutrinos leves e pesados e obtendo os valores para a massa destes,

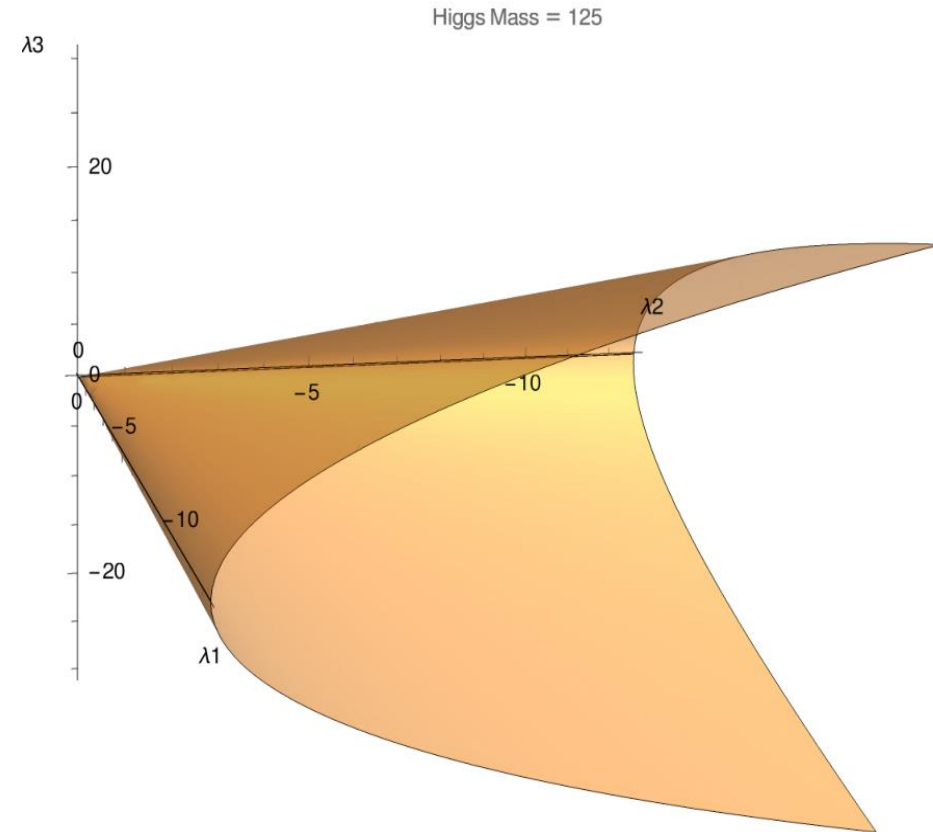
$$m_{\nu_l} \approx \frac{m_D^2}{M}, \text{ e } m_{\nu_h} \approx M,$$

5.1 - Parametrização teórica

Tivemos como objetivo testar o modelo ao longo de uma parametrização teórica da massa correta do bóson de Higgs a tree level, para tal definimos um valor para ambos VEVs:

$X=1000$ GeV

$V \approx 246$ GeV

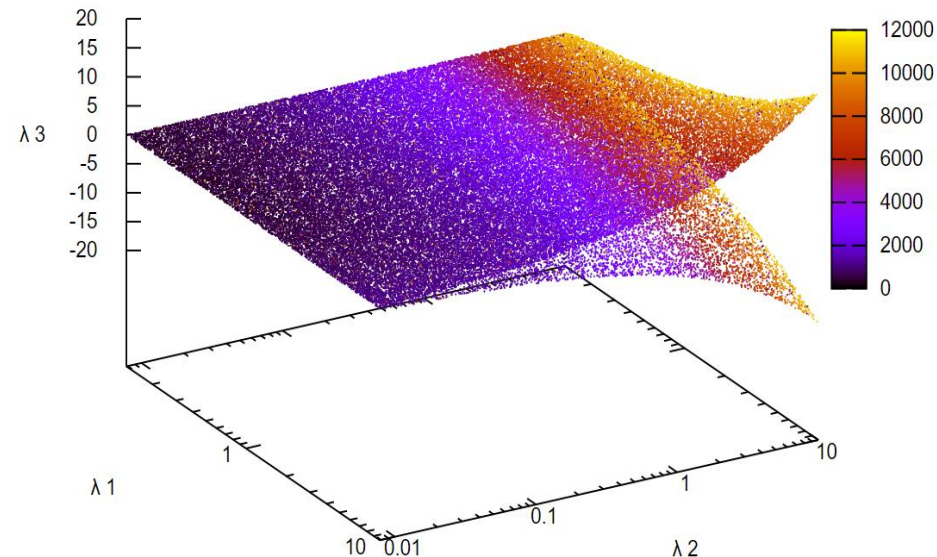
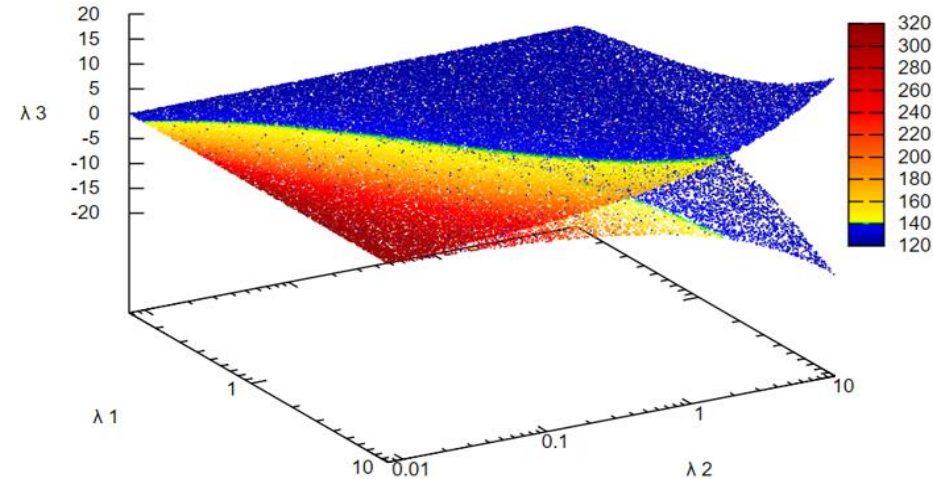


$$\sqrt{\lambda_1 v^2 + \lambda_2 x^2} - \sqrt{(\lambda_1 v^2 - \lambda_2 x^2)^2 + (\lambda_3 x v)^2}$$

5.2 - Scan segundo uma parametrização

Feito um Scan alongo desta fold o que observamos é:

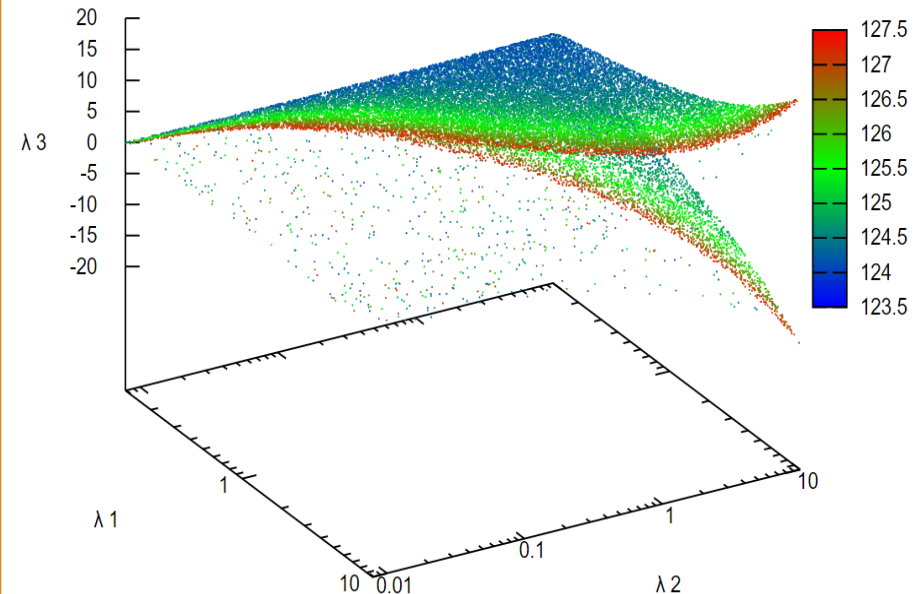
- Correções quânticas já se afasta bastante do valor esperado.
- O primeiro plot também pode ser pensado como um mapa de contraste.
- A massa do novo Higgs pode ser observada no segundo plot.



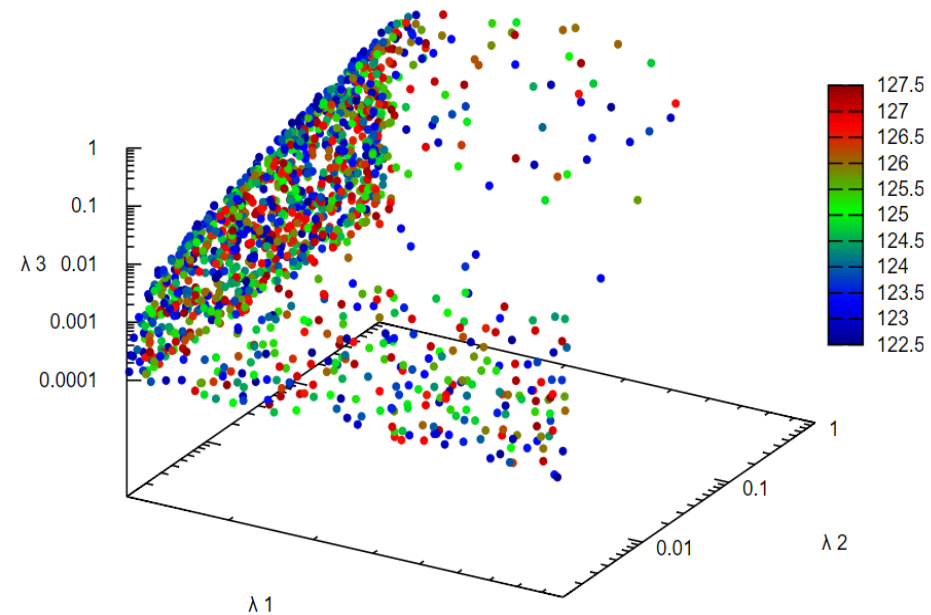
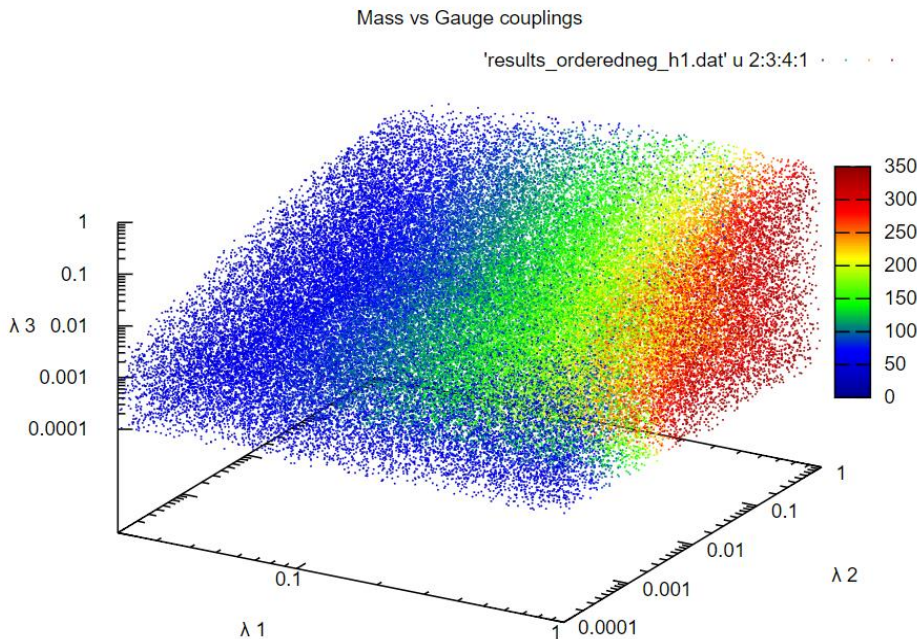
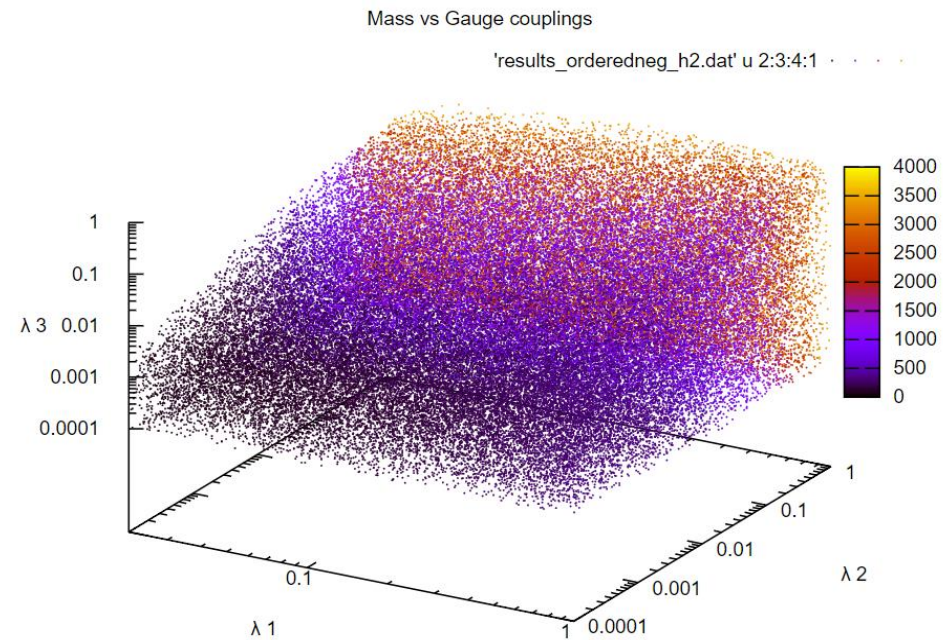
5.3 - Uma primeira seleção de pontos

Selecionado os dados que mais se aproximam da massa observada,

- Revela uma zona densa de pontos que aparenta descrever um plano.
- Indica que pode ainda ser uma forma cônica.



5.4 - Scans aleatórios com correções quânticas a dois loops

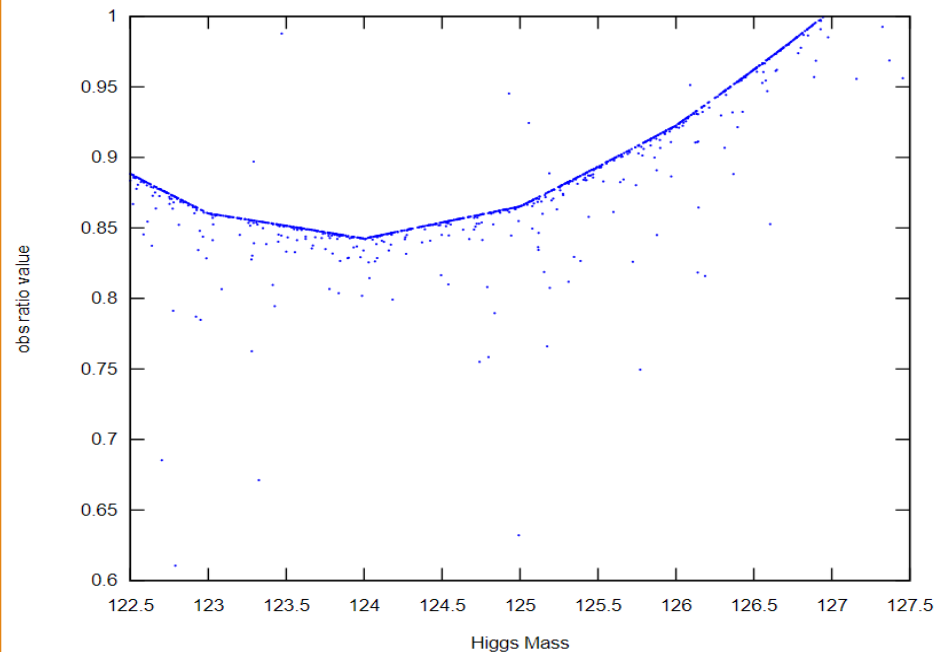
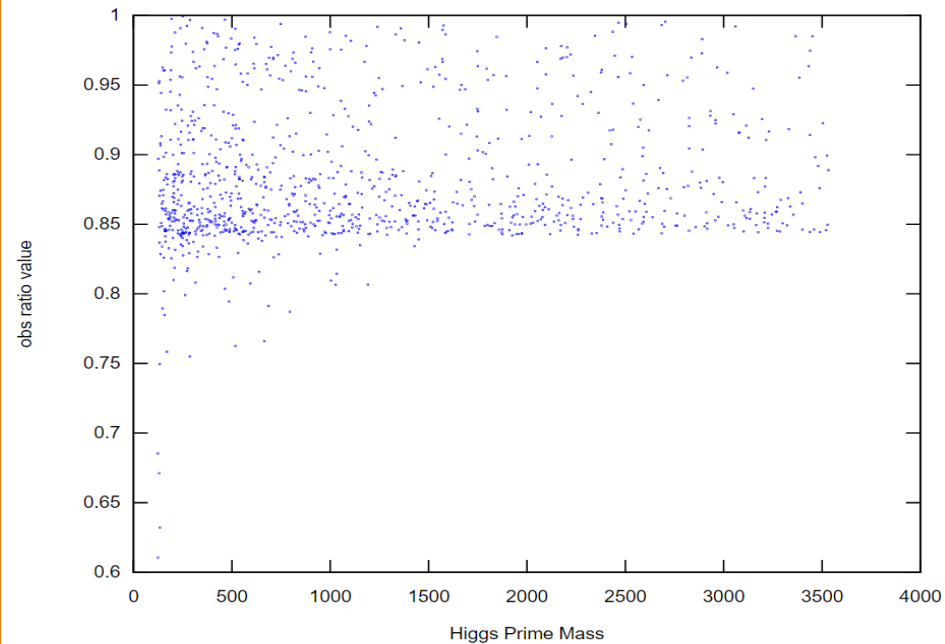


5.5 - Limites de exclusão

Destes selecionados foi calculado os limites de exclusão do sector escalar, esta taxa é calculada através da comparação com decaimentos previstos pela teoria e decaimentos observados independentes de modelo.

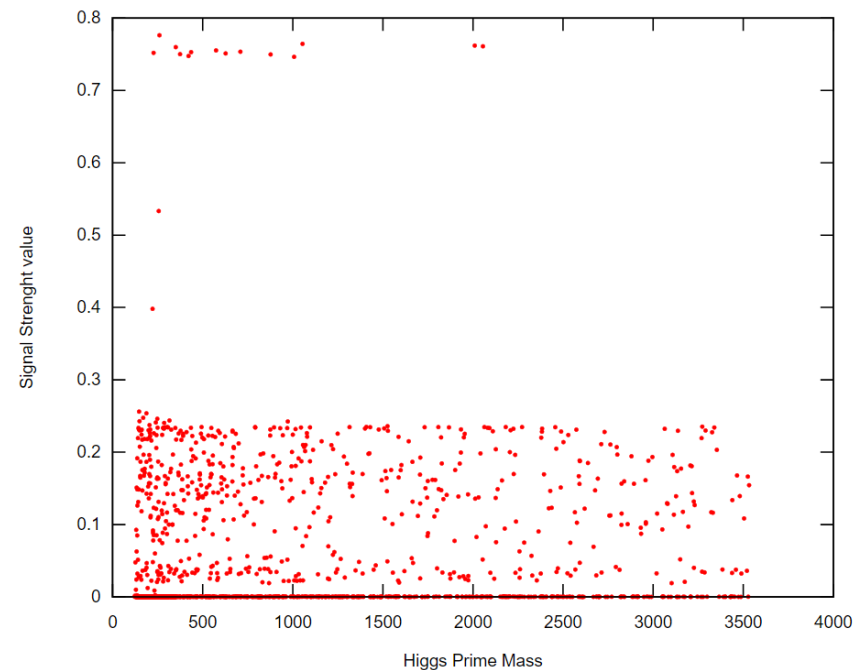
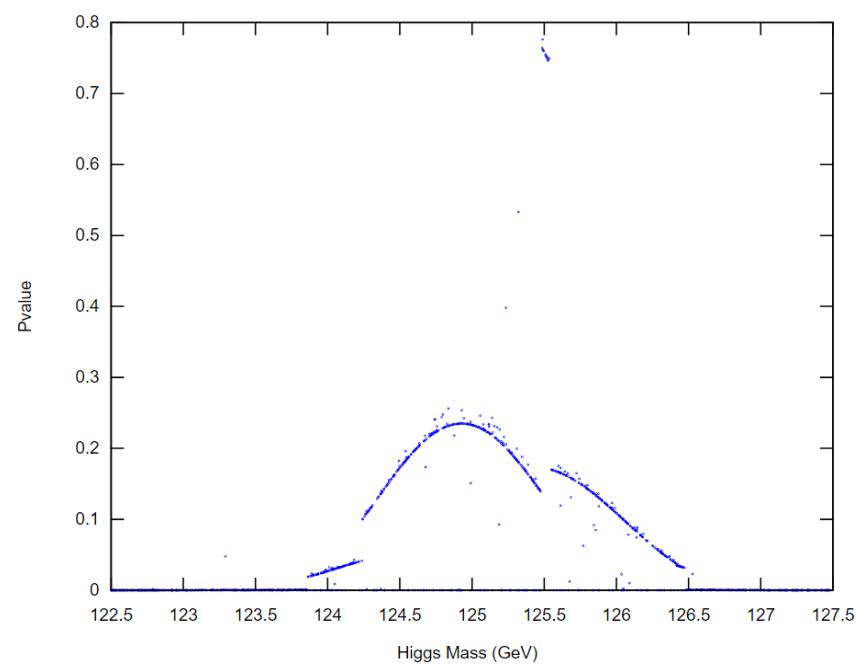
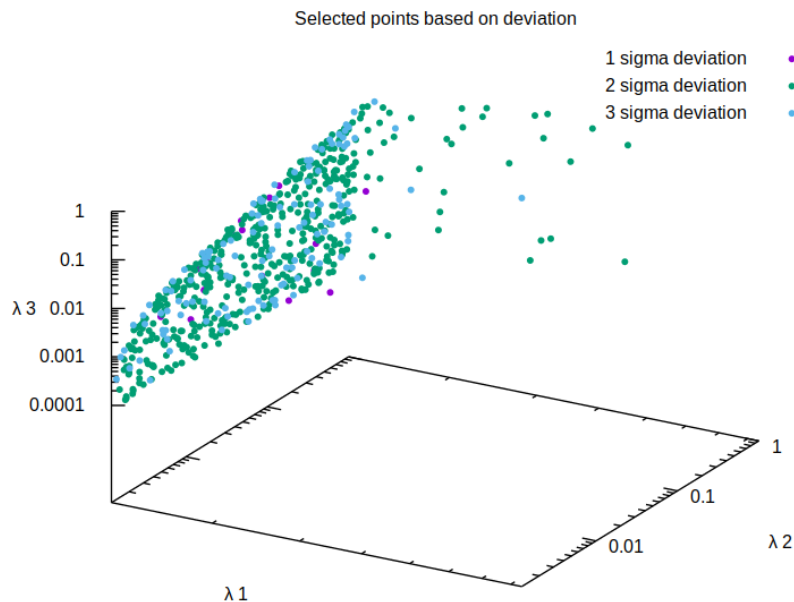
Excluimos da nossa análise imediatamente todos os pontos que se encontram dentro da zona de exclusão.

Talvez quero remover a parte a vermelho e por aqui os pontos selecionados

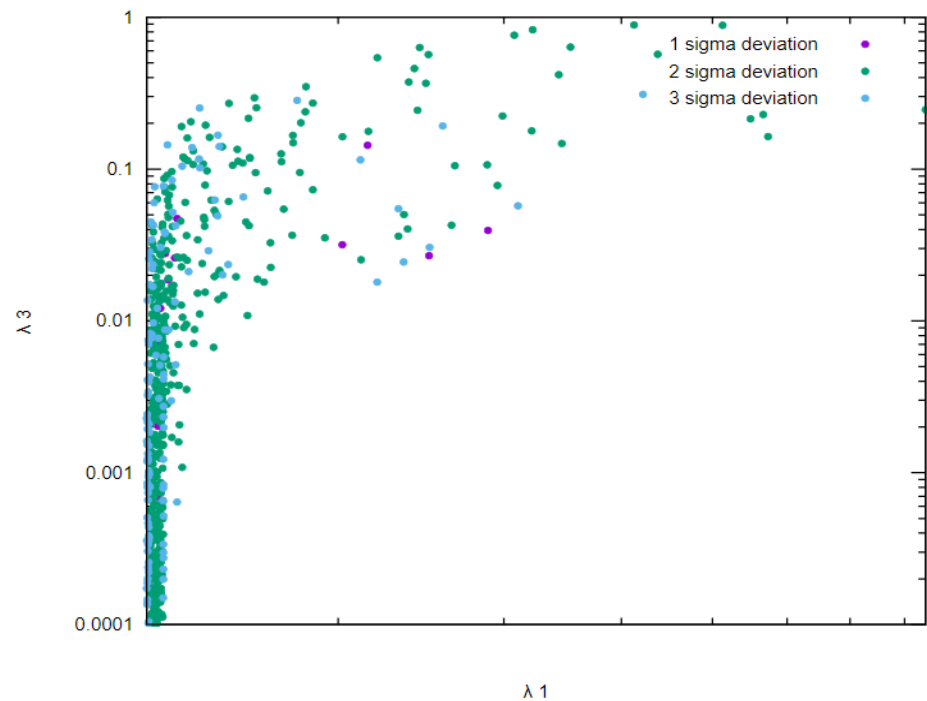
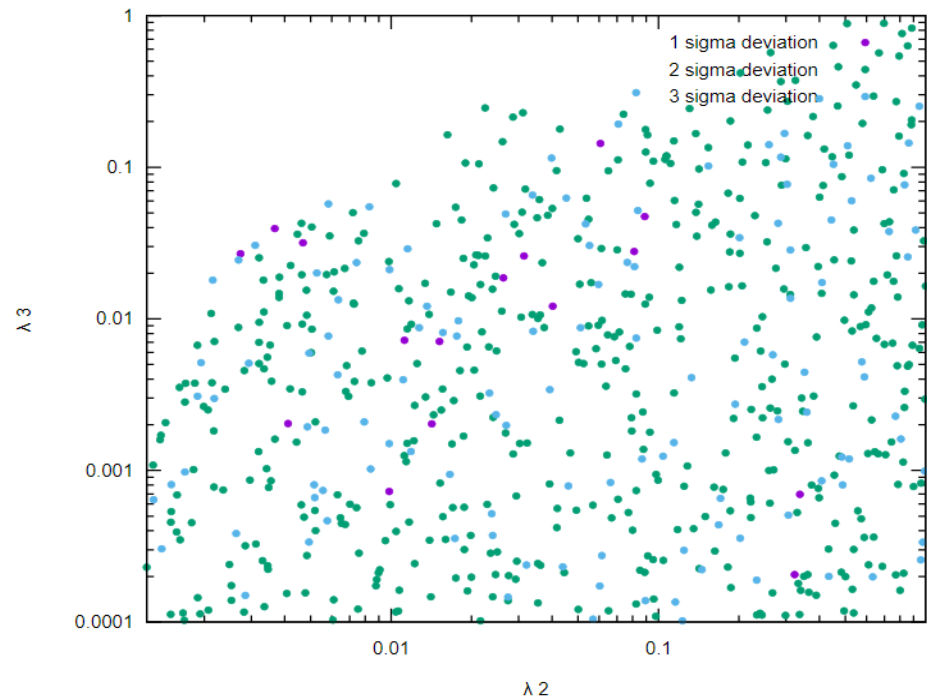
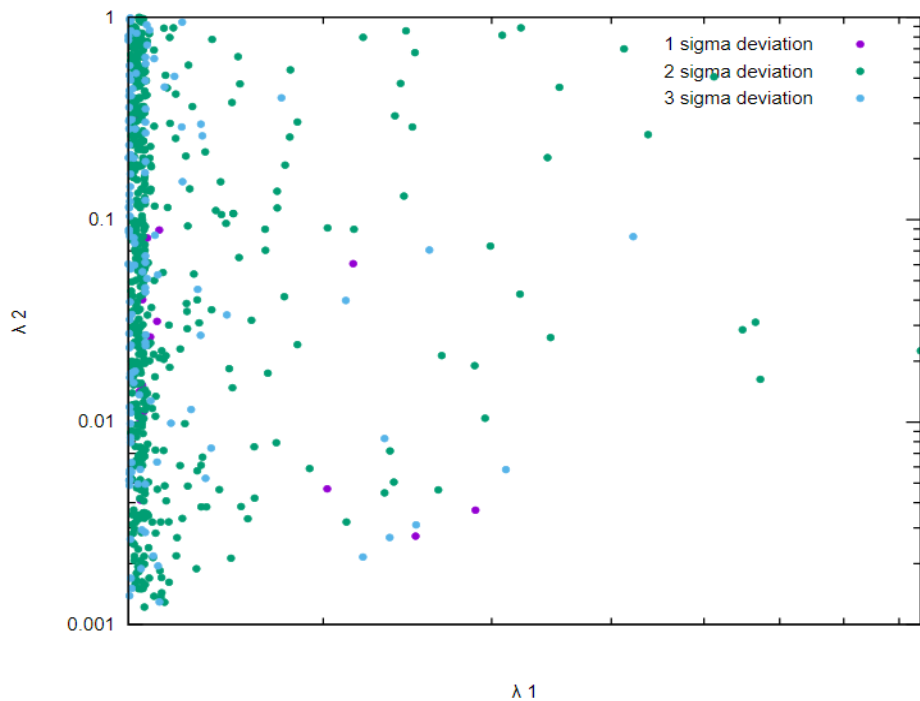


5.6 - Compatibilidade do sector de Higgs

Estudamos também a probabilidade destes pontos não excluídos descreverem os estados observados do sector de Higgs através do programa HiggsSingals.



5.7 - Bissecções do gráfico de probabilidade



5.8 - Limites associados ao bosão Z'

Model	Lower limits on					
Z'_{B-L}	ee		$\mu\mu$		$l\ l$	
	obs	exp	obs	exp	obs	exp
	4.0	4.0	3.6	3.6	4.2	4.1

Tendo em conta estes constrangimentos experimentais uma observação rápida da expressão associada a massa do novo bosão de Gauge,

$$M_{Z,Z'} = \sqrt{g^2 + g_1'^2} \cdot \frac{v}{2} \left[\frac{1}{2} \left(\frac{\tilde{g}^2 + 16 \left(\frac{x}{v} \right)^2 c g_1'^2}{g^2 + g_1'^2} + 1 \right) \mp \frac{\tilde{g}}{\sin(2\gamma') \sqrt{g^2 + g_1'^2}} \right],$$

devido à escala relativa dos VEVs podemos aproximar a massa do bosão exótico Z' a,

$$M_{Z'} = 2g_1'x,$$

O que significa que o acoplamento de Gauge prime para o caso estudado tem o valor mínimo de $g'_{1min} \approx 2$

6 - Conclusões

- O que fizemos neste projeto foi estudar as falhas do modelo padrão e explorar uma alternativa o modelo B-L-SM, focamo-nos principalmente no sector de Higgs
- A nossa análise deste modelo aparenta mostrar que se encontra quase excluído ou descoberto mas existindo condições para que este consiga com alta probabilidade descrever o campo de Higgs pode ainda ser validado.
- O que posso dizer do bosão Z'
- O que posso dizer dos neutrinos
- Este modelo continua com problemas não explicando dois dos problemas referidos no início do trabalho, nomeadamente a Matéria e energia escura e a Assimetria entre matéria e anti matéria